

# О РАННИХ СТАДИЯХ ГЕНЕРАЦИИ ДВУМЕРНЫХ СТРУКТУР МЕТОДОМ ДИНАМИКИ КОНФОРМНЫХ ОТОБРАЖЕНИЙ ХАСТИНГСА–ЛЕВИТОВА

Т. А. Ростунов<sup>a\*</sup>, Л. Н. Щур<sup>a,b,c</sup>

<sup>a</sup> *Институт теоретической физики им. Л. Д. Ландау Российской академии наук  
142432, Черноголовка, Московская обл., Россия*

<sup>b</sup> *Laboratoire de Physique des Matériaux, Université Henri Poincaré, Nancy  
B. P. 239, F- 54506 Vandoeuvre les Nancy Cedex, France*

<sup>c</sup> *Istituto Nazionale di Fisica Nucleare, Università Milano-Bicocca  
I-20126, Milano, Italy*

Поступила в редакцию 28 сентября 2001 г.

Изучались двумерные структуры, получаемые с помощью конформного отображения Хастингса–Левитова при относительно небольшом числе отображений  $n$ . Фрактальная размерность  $D$  структур вычислялась по недавно предложенной схеме Давидовича–Прокаччиа [6] как функция  $n$ . При малых  $n < n_0$  ( $n_0$  — число частиц на первом слое)  $D$  экспоненциально быстро убывает, что должно было бы подтверждать вывод работы [6] о возможности сколь угодно точного определения фрактальной размерности при относительно небольшом числе отображений  $n \approx n_0$ . С другой стороны, оказалось, что  $D$  нерегулярно отклоняется от некоторого значения  $D_0$ , зависящего от начального размера выроста  $\sqrt{\lambda_0}$ , что противоречит основному утверждению работы [6]. Однако наш анализ не исключает возможности определения фрактальной размерности двумерных структур оригинальным методом Хастингса–Левитова.

PACS: 05.10.Ln, 05.50.+q, 05.70.Fh, 64.60.Fr, 75.10.Nk

## 1. ВВЕДЕНИЕ

В природе существует множество объектов, рост которых происходит в результате диффузии частиц, формирующих кластер (например, рост кристаллов, образование узоров на стекле, образование вкрапленных минералов в горных породах, рост колоний бактерий, формирование речных протоков и аналогичные явления, например, процесс диэлектрического пробоя).

Описанные явления в ряде случаев могут рассматриваться как динамические критические процессы. Наиболее интересные характеристики этих процессов — это фрактальная размерность  $D$  получаемых объектов и мультифрактальные свойства поверхности их роста. Последние представляют собой свойства ансамбля поверхностей объектов, и их

изучение требует разработки подходящего способа усреднения по ансамблю [1].

Начало интенсивному исследованию процессов роста было положено примерно 20 лет назад, когда Виттен и Сандерс в 1981 г. предложили модель DLA (Diffusion Limited Aggregation) [2], в результате применения которой можно получить двумерные структуры, качественно похожие на упомянутые выше (см., например, недавний обзор [3]).

В модели DLA процесс начинается с помещения затравочной частицы в центр координат и последующего роста кластера за счет диффузии частиц с бесконечности (при моделировании — с окружности с радиусом много больше размера конечного кластера). Когда частица касается кластера, она к нему прилипает. Так происходит рост кластера. После прилипания или ухода частицы на бесконечность (на расстояние много больше радиуса окружности, с которой выпускаются частицы) выпускается следующая

\*E-mail: rostunov@itp.ac.ru

щая частица. Получающийся в результате кластер, по-видимому, имеет фрактальную структуру.

Заметный прогресс в изучении DLA-подобных объектов был достигнут за последние несколько лет благодаря применению принципиально нового метода моделирования роста структур, предложенного Хастингсом и Левитовым [4]. В этой модели кластер генерируется с помощью последовательности отображений внешности единичной окружности на внешность растущего объекта. При этом на каждом шагу применяется конформное отображение, переводящее внешность единичной окружности во внешность единичной окружности с выростом в форме полуэллипса. Таким образом, каждое преобразование добавляет новую частицу к кластеру. Параметр преобразования  $\lambda$ , отвечающий за площадь выроста, выбирается исходя из моделируемой задачи. Например, для модели DLA величина  $\lambda$  выбирается таким образом, чтобы после последовательного применения к единичной окружности всех преобразований размеры всех выростов были равны (подробнее см. ниже в разд. 2).

В 1996 г. Хастингс [5], используя метод конформных преобразований, применил ренормгрупповой подход к приближенному аналитическому нахождению фрактальной размерности в модели DLA. Полученное им рациональное значение  $D = 17/10$  довольно близко к значению  $D = 1.71$ , обычно получаемому в результате прямого численного моделирования.

В методе Хастингса и Левитова фрактальная размерность определяется по зависимости от количества частиц первого члена разложения в ряд Лорана функции генерации кластера [4]. Позднее Давидович и Прокаччиа предложили модифицированный метод численного нахождения фрактальной размерности кластера [6] (подробнее см. ниже). Ими было сделано утверждение о том, что фрактальная размерность может быть определена с высокой точностью уже на ранних стадиях роста, в то время как обычно требуется анализ кластеров гигантских размеров<sup>1)</sup>. Основная цель настоящей статьи состоит в проверке этого очень сильного утверждения.

Статья построена следующим образом. В разд. 2 описывается модель Хастингса–Левитова [4]. В разд. 3 приведен предложенный в [6] метод определения фрактальной размерности и описана его реализация, использованная нами. Детали вычислений и результаты приведены в разд. 4,

<sup>1)</sup> Например, в работе [7] изучались двумерные кластеры из  $10^8$  частиц.

где обсуждаются самоусреднение вычисляемой по методике Давидовича–Прокаччиа фрактальной размерности на ранних стадиях роста и изменение ее величины в зависимости от числа частиц для некоторого набора параметров задачи. В разд. 5 приведены некоторые выводы, полученные на основании проведенного моделирования.

## 2. МОДЕЛЬ ХАСТИНГСА–ЛЕВИТОВА

Пусть  $u(z)$  — плотность вероятности нахождения частицы в точке  $z$ . Она определяется решением уравнения Лапласа

$$\Delta u = 0 \quad (1)$$

с граничными условиями

$$u = 0 \quad (2)$$

на поверхности кластера и

$$u = \frac{1}{2\pi} \ln(|z|) \quad (3)$$

на окружности большого радиуса ( $|z| \rightarrow \infty$ ).

Выражение (1) описывает диффузию без источников. Условие (2) говорит о том, что частица, достигшая поверхности, прилипает к ней и уже более не является свободной (что и обеспечивает рост кластера в модели DLA), а условие (3) — о том, что частицы диффундируют с бесконечности равномерно с любого направления.

Вероятность роста DLA-кластера в некоторой точке его границы определяется как вероятность того, что частица коснется элемента  $dl$  границы, содержащего эту точку:

$$dP(z) \propto |\nabla u| dl$$

(эта вероятность пропорциональна потоку на границе).

В общем случае можно определить вероятность роста кластера как

$$dP \propto |\nabla u|^\alpha dl \quad (4)$$

с произвольным значением степени  $\alpha$ . Значение  $\alpha = 1$  соответствует модели DLA, которая представляет собой частный случай модели диэлектрического пробоя [8] DBM (Dielectric Breakdown Model). Модель DBM по определению является моделью, в которой вероятность роста (т. е. вероятность пробоя изолятора) пропорциональна некоторой степени  $\alpha$  поля (градиента потенциала) у поверхности.

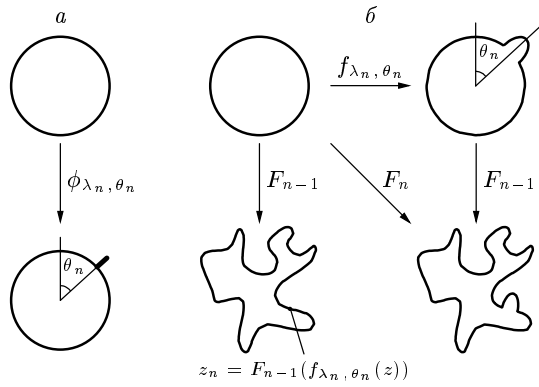


Рис. 1. Действие отображений  $\phi_{\lambda_n, \theta_n}$ ,  $f_{\lambda_n, \theta_n}$ ,  $F_{n-1}$ ,  $F_n$

Задача (1)–(3) может быть смоделирована с помощью процесса итерации конформных отображений внешности единичной окружности на внешность растущего кластера [4]. На каждом шагу применяется композиция двух отображений. Функция

$$\phi_{\lambda, \theta}(z) = e^{i\theta} \phi_{\lambda}(e^{-i\theta} z) \quad (5)$$

отображает внешность окружности единичного радиуса во внешность окружности с  $\delta$ -образным выростом размера

$$2\sqrt{\lambda} + O(\lambda^{3/2}), \quad \lambda \ll 1,$$

в точке  $z = e^{i\theta}$ , что мы изобразили схематически на рис. 1а. В оригинальной работе [4] функция  $\phi_{\lambda}(z)$  была выбрана в виде

$$\phi_{\lambda}(z) = \frac{1 + \lambda}{2z} (z + 1) \times \left( z + 1 + \sqrt{z^2 + 1 - 2z \frac{1 - \lambda}{1 + \lambda}} \right) - 1. \quad (6)$$

Тогда преобразование

$$f_{\lambda, \theta}(z) = z^{1-a} \phi_{\lambda, \theta}^a(z)$$

отображает внешность окружности во внешность окружности с выростом некоторой формы. Форма выроста вокруг точки окружности  $z = e^{i\theta}$  определяется параметром  $a$ . При  $a = 2/3$  вырост имеет одинаковый размер  $(4/3)\sqrt{\lambda}$  в любом направлении и его можно рассматривать как налипшую круглую частицу. На  $n$ -м шаге итераций результирующая функция  $F_{n-1}(z)$ , являющаяся суперпозицией  $n - 1$  отображений  $f$  для предыдущих шагов, отображает окружность в кластер, состоящий из  $n - 1$

частиц, а окружность с выростом — в кластер из  $n$  частиц (см. рис. 1б).

Таким образом, кластер из  $n$  частиц получается из единичной окружности последовательно  $n$  отображений

$$F_n(z) = F_{n-1}(f_{\lambda_n, \theta_n}(z)),$$

где начальная функция  $F_0(z) = z$ . При этом  $\lambda_n$  определяется так, что после преобразования  $F_{n-1}$  площадь  $n$ -го выроста пропорциональна  $\lambda_0 |\nabla u|^{\alpha-1}$ , а вероятность роста на элементе поверхности кластера пропорциональна  $|\nabla u|$  (где  $\lambda_0$  — параметр, определяющий начальный размер частиц). Так как при конформных преобразованиях линейные размеры в точке  $z$  изменяются пропорционально  $(F'(z))^{-1}$  (штрих обозначает производную), то

$$\lambda_n = \frac{\lambda_0}{(F'_{n-1}(z)|_{z=F_{n-1}(e^{i\theta_n})})^{1+\alpha}}. \quad (7)$$

Пропорциональная зависимость вероятности роста (4) учитывается через соответствующее изменение размера частицы (7): если вначале площадь объекта, который состоит из нескольких выростов, пропорциональна  $\lambda_n dl_0$ , где  $dl_0$  — элемент длины начального зародыша (т. е. окружности), то после преобразования  $F_{n-1}$  площадь будет пропорциональна

$$\lambda_n (F'_{n-1})^2 dl_0.$$

С другой стороны, площадь пропорциональна элементу длины поверхности конечного кластера  $dl$  и вероятности роста, которая, в свою очередь, пропорциональна степени градиента поля на его поверхности. Поэтому площадь объекта должна быть

$$\lambda_0 |\nabla u|^\alpha dl \propto \lambda_0 |F'_{n-1}|^{-\alpha+1} dl_0.$$

Приравнивая оба выражения для площади, получаем (7).

В работе [4] было показано, что  $\theta_n$  равномерно распределена на интервале  $[0; 2\pi]$ . Действительно, для вероятности роста, принимая во внимание то, что множитель  $|\nabla u|^{\alpha-1}$  учитывается размером новой частицы, имеем

$$dP \propto |\nabla u| dl \propto |\nabla u| \frac{dl_0}{|\nabla u|} \propto dl_0 \propto d\theta.$$

Характерный линейный размер кластера определяется как коэффициент  $F_n^{(1)}$  при  $z$  в разложении  $F_n(z)$ . Поскольку  $u$  удовлетворяет уравнениям

электростатики с нулевым потенциалом на кластере, можно ввести эффективную окружность, которая на бесконечности с точки зрения электростатики выглядела бы так же, как и кластер. Исходно потенциал имеет следующую асимптотику:

$$u \propto \ln |z|.$$

Функция  $f_{\lambda, \theta}$  разлагается в ряд Лорана

$$f_{\lambda, \theta}(z) = (1 + \lambda)^a z + \sum_{k \leq 0} a_k z^k$$

и имеет на бесконечности асимптотику

$$f_{\infty}(z) = (1 + \lambda)^a z.$$

Степени, большие 1, в разложении отсутствуют, поскольку  $f_{\lambda, \theta}$  исходно выбирается таким образом, чтобы не затрагивать удаленных областей ничем, кроме масштабных преобразований. Асимптотика конечного преобразования имеет вид

$$F_{\infty}(z) = F_n^{(1)} z,$$

где

$$F_n^{(1)} = \prod_{k=1}^n (1 + \lambda_k)^a. \quad (8)$$

При таком преобразовании потенциал на бесконечности имеет вид

$$u \propto \ln \left( \frac{|z|}{F_n^{(1)}} \right),$$

что соответствует потенциалу окружности радиуса  $F_n^{(1)}$ . Поэтому за линейный размер кластера с числом частиц  $n$  принимается величина  $F_n^{(1)}$ .

Из изложенного выше можно сделать вывод о частичной эквивалентности моделей DLA и Хастингса–Левитова при  $\alpha = 1$ . Кроме того, в работе [4] приведены кластеры, построенные для различных значений  $\alpha$ , вид которых (для  $\alpha = 1$ ) имеет сходство с видом кластеров DLA. Тем не менее строгое доказательство эквивалентности этих двух моделей пока отсутствует.

### 3. МЕТОД ОПРЕДЕЛЕНИЯ ФРАКТАЛЬНОЙ РАЗМЕРНОСТИ, ПРЕДЛОЖЕННЫЙ ДАВИДОВИЧЕМ И ПРОКАЧЧИА

Одной из основных характеристик фрактальных объектов является их фрактальная размерность. Модель Хастингса–Левитова предоставляет

уникальную возможность исследования различных структур и нахождения их размерностей, в частности для моделей DLA и DBM, в рамках единообразного подхода.

Фрактальную размерность можно найти [5] по асимптотическому поведению зависимости линейного размера кластера  $F_n^{(1)}(\lambda_0)$  от числа частиц  $n$  при фиксированных параметрах  $\lambda_0$ ,  $\alpha$  и  $a$ . При больших  $n$  линейный размер интерполируется степенной функцией  $n^{1/D}$ , откуда и находится фрактальная размерность  $D$ .

Значение фрактальной размерности DLA-структур до сих пор не удалось получить никакими методами с относительной точностью лучше, чем  $\sim 0.01$ . Это связано с тем, что с увеличением количества частиц величина  $D$  сходится очень медленно при применении стандартных методов вычисления фрактальной размерности (см., например, сборник [9]).

В работе [6] авторы утверждают, что им удалось найти процедуру определения  $D$ , которая сходится достаточно быстро, и что с ее помощью можно получить гораздо более точные результаты. А именно, зависимость  $F_n^{(1)}(\lambda_0)$  может быть представлена в виде универсальной функции  $F_*^{(1)}(x)$  уже для малых  $x \ll 1$ , где

$$x = \sqrt{\lambda_0} n^{1/D}, \quad (9)$$

причем  $F_n^{(1)}(\lambda_0)$  сходится к  $F_*^{(1)}(x)$  уже при  $n \geq n_0$ , здесь

$$n_0 = \frac{3}{2} \frac{\pi}{\sqrt{\lambda_0}} \quad (10)$$

определяет для данного  $\lambda_0$  число частиц, с помощью которого можно покрыть зародыш одним слоем. Тогда, находя значения  $n$ , соответствующие одному и тому же значению линейного размера кластера  $F^{(1)}$  (т. е. одному и тому же  $x$ ) для различных  $\lambda_0$ ,

$$F_n^{(1)}(\lambda_0) = F_{n'}^{(1)}(s\lambda_0),$$

получаем фрактальную размерность

$$D(n; \lambda_0) = \frac{2(\ln n - \ln n')}{\ln s}, \quad (11)$$

где  $n$  — номер шага итерации (число частиц кластера), соответствующий параметру размера частиц  $\lambda_0$ , а  $n'$  — номер шага итерации, соответствующий другому параметру размера частиц  $s\lambda_0$ , при которых достигается одно и то же значение линейного размера кластера. Поскольку  $n$  и  $n'$  могут быть достаточно малы, в случае верности этого метода появляется

возможность легко набирать статистически значимое количество реализаций и, усредняя  $D(n; \lambda_0)$  по большому числу реализаций, получать результаты с высокой точностью при фиксированном значении  $\lambda_0$ . При этом, по утверждению авторов работы [6], при уменьшении  $\lambda_0$  ожидается быстрая сходимость значения фрактальной размерности уже при малом числе отображений  $n \approx n_0$ .

В настоящей работе мы исследуем именно эту схему вычисления фрактальной размерности.

## 4. РЕЗУЛЬТАТЫ МОДЕЛИРОВАНИЯ

### 4.1. Процесс моделирования

Рост кластеров моделировался следующим образом.

1. Выбирались значения параметра площади частиц  $\lambda_0$ , параметра формы частиц  $a = 2/3$ , соответствующие круглой частице, и степени градиента потенциала  $\alpha = 1$  для модели DLA и  $\alpha = 2.5$  для модели DBM.

2. В качестве начального зародыша на комплексной плоскости выбиралась окружность единичного радиуса с центром в начале координат.

3. Начальная функция отображения выбиралась в виде, переводящем начальную окружность саму в себя:  $F_0(z) = z$ . Начальное значение линейного коэффициента разложения в ряд Лорана функции  $F_0(z)$  полагалось равным  $F_0^{(1)} = 1$ . Начальный номер шага  $n = 1$ .

4. На  $n$ -м шаге берется псевдослучайное число  $\theta_n$  из промежутка  $[0; 2\pi]$ , определяющее положение новой частицы, которому соответствует точка на поверхности кластера  $z_n = F_{n-1}(e^{i\theta_n})$  (см. рис. 1б).

5. В этой точке вычисляется производная преобразования  $F'_{n-1}(z)|_{z=z_n}$ , определяющая линейное растяжение окрестности точки относительно ее окрестности на начальном зародыше.

6. С помощью производной находится соответствующее значение параметра  $\lambda_n$ , определяемого формулой (7), характеризующее размер  $n$ -й частицы.

7. По значению  $\lambda_n$  находим новую функцию отображения  $F_n(z) = F_{n-1}(f_{\lambda_n, \theta_n}(z))$  единичной окружности на кластер из  $n$  частиц (см. рис. 1б), а также соответствующее новое значение размера кластера  $F_n^{(1)} = F_{n-1}^{(1)}(1 + \lambda_n)^a$ .

Далее моделирование сводится к повторению пунктов 4–7 с увеличением  $n$  на 1. Таким образом, мы находим зависимость линейного коэффициента разложения  $F_n^{(1)}(\lambda_0)$  от  $n$ . Описанный выше процесс

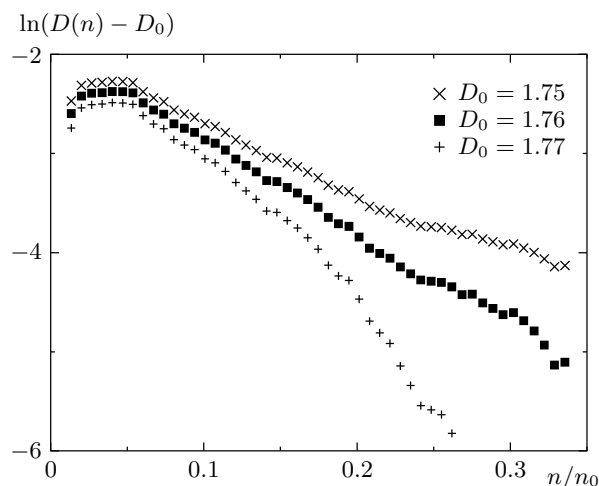


Рис. 2. Экспоненциальная релаксация  $D(n; \lambda_0)$  при малых  $n \leq 0.35n_0$ ;  $\lambda_0 = 10^{-5}$

мы называем одной реализацией. При одинаковых начальных параметрах из п. 1 реализации отличаются друг от друга только различными наборами случайных чисел  $\theta_n$ . Средние значения и их дисперсии вычисляются по ансамблю реализаций.

### 4.2. Поведение $D$ при малых $n < n_0$

Подход Давидовича–Прокаччия [6] основан на утверждении, что фрактальная размерность  $D(n; \lambda_0)$  быстро убывает как функция номера итерации  $n$ , сходясь к некоторому стационарному значению  $D_0$ , которое практически не изменяется при  $n \gtrsim n_0$ . В настоящей работе мы в первую очередь исследовали поведение фрактальной размерности  $D(n; \lambda_0)$  на ранних стадиях роста ( $n < n_0$ ). Было проведено моделирование при  $\alpha = 1$  (модель DLA) при значении параметров  $a = 2/3$ ,  $\lambda_0 = 10^{-5}$  для 9000 реализаций в интервале  $n \in [0; n_0/3]$ .

Для каждой из основных реализаций роста кластера моделировалась дополнительная реализация с вдвое большим ( $s = 2$  в выражении (11)) начальным значением  $\lambda_0 = 2 \cdot 10^{-5}$  и по ней определялся соответствующий номер итерации  $n'$ , при котором значения функций  $F_n^{(1)}(\lambda_0)$  и  $F_{n'}^{(1)}(2\lambda_0)$  совпадали. Путем усреднения по этим реализациям получены значения  $D$  как функции  $n$  в указанном выше интервале: для каждой пары реализаций по формуле (11) вычислялась зависимость  $D(n; \lambda_0)$ , которая после этого усреднялась по реализациям.

На рис. 2 построены зависимости  $\ln(D(n; \lambda_0) - D_0)$  от безразмерного отношения  $n/n_0$  для трех значений  $D_0 = 1.75, 1.76$  и  $1.77$  —

возможных асимптотических значений  $D(n; \lambda_0)$  при больших  $n$ . Чем ближе  $D_0$  к асимптотическому значению, тем меньше зависимость  $\ln(D(n; \lambda_0) - D_0)$  отличается от линейной. Видно, что при значениях  $D_0 = 1.75$  и  $1.77$  кривые отклоняются от прямолинейной зависимости соответственно вверх и вниз, поэтому промежуточное значение  $D_0 = 1.76$  можно принять как значение фрактальной размерности Давидовича–Прокаччиа при значении параметра  $\lambda_0 = 10^{-5}$ .

### 4.3. Распределение значений $D$

Для корректного усреднения полученных значений  $D$  необходимо знать их статистическое распределение.

Вычисления функции распределения значений  $D$  проводились для  $\alpha = 1$  и  $2.5$ . При всех реализациях было выбрано  $\lambda_0 = 10^{-5}$ . Для каждого значения  $\alpha$  проводилось 10 серий реализаций, после чего результаты усреднялись по этим сериям с вычислением среднеквадратичного отклонения.

Каждая серия представляет собой построение гистограммы по 11700 точкам, полученным из 900 реализаций (из каждой реализации бралось 13 значений  $D$  на разных стадиях роста кластера при некоторых  $n$  из интервала  $[n_0; 4n_0]$ ). Шаг гистограммы  $\delta D = 0.05$  для  $\alpha = 1.0$  и  $\delta D = 0.1$  для  $\alpha = 2.5$ . Результаты приведены на рис. 3а, б. Видно, что распределения близки к гауссову.

Обозначим  $\bar{D}$  усредненное значение всех  $D(n; \lambda_0)$  для  $n > n_0$  при фиксированных значениях  $\alpha$  и  $\lambda_0$ .

Для  $\alpha = 1$  значение  $\bar{D} = 1.76$ , а для  $\alpha = 2.5$   $\bar{D} = 1.55$ . В обоих случаях средние значения совпадают с положением максимума распределения в пределах погрешности, что говорит о симметрии распределения. Так, для  $\alpha = 1$  положение максимума распределения  $D_{max} = 1.761 \pm 0.001$ , а среднее значение  $\bar{D} = 1.762 \pm 0.004$ . Для  $\alpha = 2.5$  соответствующие величины равны  $D_{max} = 1.538 \pm 0.002$  и  $\bar{D} = 1.538 \pm 0.008$ . Заметим, что в случае  $\alpha = 1$  (т. е. в случае DLA-кластера) полученное нами по методу Давидовича–Прокаччиа значение  $\bar{D} = 1.76$  не совпадает с «классическим» значением  $\bar{D} = 1.71$  (подробнее это обсуждается в разд. 4.5).

### 4.4. Самоусреднение $D$

В системах с фазовым переходом второго рода в окрестности критической точки корреляционная длина может становиться очень большой и превосходить конечный размер системы при приближении к

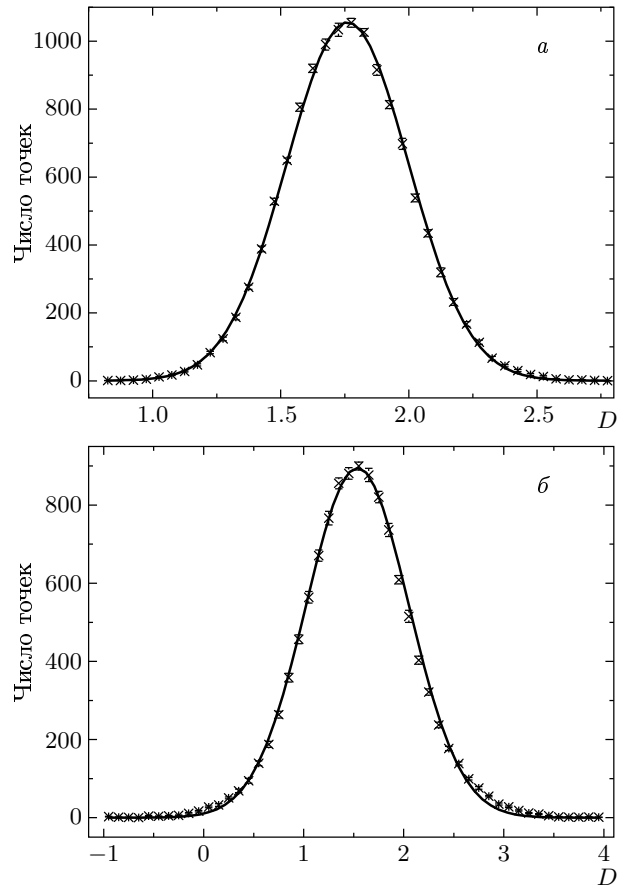


Рис. 3. Распределения значений фрактальной размерности  $D$  для  $\alpha = 1$  (а) и  $2.5$  (б). Сплошные кривые являются гауссовыми интерполяциями распределений

критической точке. При этом при наличии беспорядка в системе для ряда величин может наблюдаться отсутствие самоусреднения. Такое поведение можно ожидать, например, для корреляционной функции в спиновых решеточных моделях с замороженными примесями [10].

Самоусреднение величины  $\chi$  определяется поведением ее относительной флуктуации

$$R_\chi = \frac{\langle \chi^2 \rangle - \langle \chi \rangle^2}{\langle \chi \rangle^2}$$

в зависимости от характерного линейного размера системы  $L$ .

В термодинамическом пределе  $L \rightarrow \infty$  эта величина обычно убывает обратно пропорционально объему системы:

$$R_\chi \propto 1/L^d,$$

где  $d$  — размерность системы. Если же убывание  $\mathcal{R}_\chi$  происходит медленнее, т. е.

$$\mathcal{R}_\chi \propto 1/L^\gamma, \quad \gamma < d,$$

то считается, что величина  $\chi$  рассматриваемой системы усредняется слабо. В случае, если с увеличением объема системы  $L^d$  значение  $\mathcal{R}_\chi$  стремится к отличной от нуля константе, говорят об отсутствии усреднения величины  $\chi$  в системе.

Метод построения кластеров в модели DLA является стохастическим, хотя полную аналогию с замороженными примесями в термодинамической системе провести невозможно. Тем не менее можно ожидать, что полное самоусреднение в модели DLA будет отсутствовать.

В нашей системе линейный размер задается радиусом кластера  $F^{(1)}$ . Вместо него можно менять размер частиц  $\lambda_0$ , оставляя при этом  $F^{(1)}$  постоянным, т. е. определить степень  $\gamma$  в выражении для зависимости относительной флуктуации размерности  $D$ :

$$\mathcal{R}_D \propto \lambda_0^{\gamma/2} \propto n^{-\gamma/D}. \quad (12)$$

Таким образом, в модели Хастингса–Левитова зависимость относительной флуктуации фрактальной размерности от начального размера выроста содержит информацию о степени ее самоусреднения.

Для изучения самоусреднения величины  $D$  в нашей системе проводились серии моделирования при значениях параметра

$$\lambda_0 = (0.5; 1.0; 1.5; 2.0; 3.0; 5.0; 8.0) \cdot 10^{-5}$$

для  $\alpha = 1$  и

$$\lambda_0 = (0.3; 0.5; 1.0; 1.5; 3.0; 4.0; 5.0) \cdot 10^{-5}$$

для  $\alpha = 2.5$ . Для каждого значения  $\lambda_0$  проводилось девять серий по 100 реализаций. Из каждой реализации бралось 14 точек для определенных значений  $F^{(1)}$  вплоть до значения  $F^{(1)} = 1.1$ . Полученные значения  $\mathcal{R}_D$  затем усреднялись по девяти сериям.

Зависимости  $\mathcal{R}_D(\lambda)$  и их аппроксимации приведены на рис. 4а, б в дважды логарифмическом масштабе. Путем их линейной аппроксимации можно получить следующие значения  $\gamma$  в выражении (12):  $\gamma = 1.268 \pm 0.034$  для  $\alpha = 1$  и  $\gamma = 0.510 \pm 0.036$  для  $\alpha = 2.5$ .

Для обеих моделей величина  $D$  слабо самоусредняется. Это следует из того, что показатель степени  $\gamma/D$  в выражении (12) для приведенных выше значений  $\gamma$  (с учетом того, что  $D = 1.71$  при  $\alpha = 1$ , а

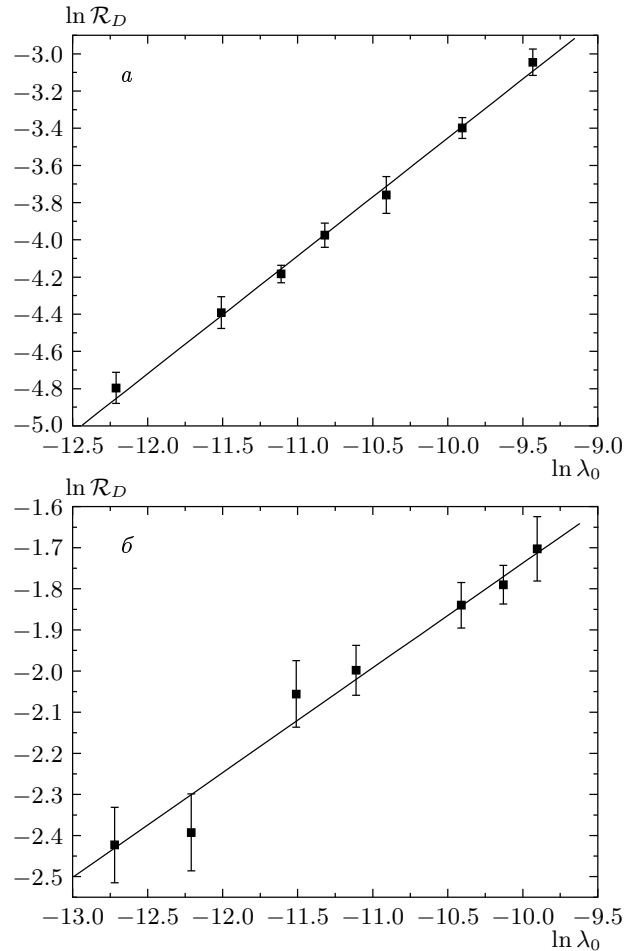


Рис. 4. Зависимости  $\ln \mathcal{R}_D(\ln \lambda_0)$  для  $\alpha = 1$  (а) и 2.5 (б)

при  $\alpha = 2.5$  значение  $D$  заметно больше единицы), оказывается меньше единицы. Так, для  $\gamma = 1$  показатель экспоненты  $\gamma/D = 0.74$ . Следовательно,  $\mathcal{R}_D$  с ростом  $n$  убывает медленнее, чем обратный «объем кластера»  $1/n$  (тогда как в системах с нормальным самоусреднением эти величины убывали бы одинаково).

Если сделать предположение, что поведение флуктуаций фрактальной размерности, вычисляемой традиционным способом [4, 7, 13] (т. е. вычисляемые по зависимости  $F^{(1)} \propto n^{1/D}$ ), аналогично поведению флуктуаций фрактальной размерности Давидовича–Прокаччия (11), то наш результат также объясняет медленную сходимость фрактальной размерности с увеличением размера системы.

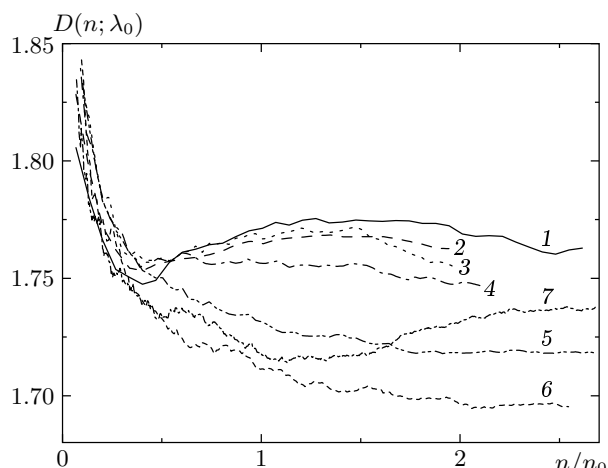


Рис. 5. Зависимость  $D(n; \lambda_0)$  для  $n \lesssim 3n_0$  для моделей с различными значениями  $\lambda_0$ :  $4 \cdot 10^{-5}$  (1),  $10^{-5}$  (2),  $2.5 \cdot 10^{-6}$  (3),  $10^{-6}$  (4),  $10^{-7}$  (5),  $10^{-8}$  (6),  $10^{-9}$  (7)

#### 4.5. Поведение $D$ при большом числе отображений

Согласно методу, предложенному Давидовичем и Прокаччия [6], при больших значениях числа отображений  $n$  найденные значения фрактальной размерности  $D(n; \lambda_0)$  не зависят ни от  $n$ , ни от  $\lambda_0$ , что позволяет говорить о существовании единой функции  $F_*^{(1)}(x)$ . На этом предположении основан их метод нахождения фрактальной размерности.

Для проверки правильности этого предположения мы провели прямое численное определение зависимости фрактальной размерности  $D$  как функции числа отображений  $n$  и размера выроста  $\lambda_0$  при  $n > n_0$ .

Зависимость  $D(n; \lambda_0)$  для различных значений  $\lambda_0$  исследовалась в случае модели DLA ( $\alpha = 1$ ) при  $n \lesssim 3n_0$ . Мы использовали методику, описанную в разд. 4.2. Зависимости усредненной по реализациям фрактальной размерности  $D(n; \lambda_0)$  для различных значений  $\lambda_0$  приведены на рис. 5. Погрешности везде (кроме окрестностей точек пересечения кривых) много меньше расстояния между кривыми.

Из рисунка видно, что, во-первых, значения  $D(n; \lambda_0)$  не стремятся к постоянной величине по мере увеличения числа отображений  $n$  и, во-вторых, имеется сильная зависимость фрактальной размерности  $D(n; \lambda_0)$  от  $\lambda_0$  при больших  $n$ . Значения  $\lambda_0$ , соответствующие значения  $n_0$ , количество реализаций  $N$  и максимальные числа  $n_{max}$  отображений, до которых проводились вычисления, приведены в таблице. В последнем столбце таблицы приведе-

Значения  $n_0, n_{max}, N, \bar{D}$  для различных  $\lambda_0$

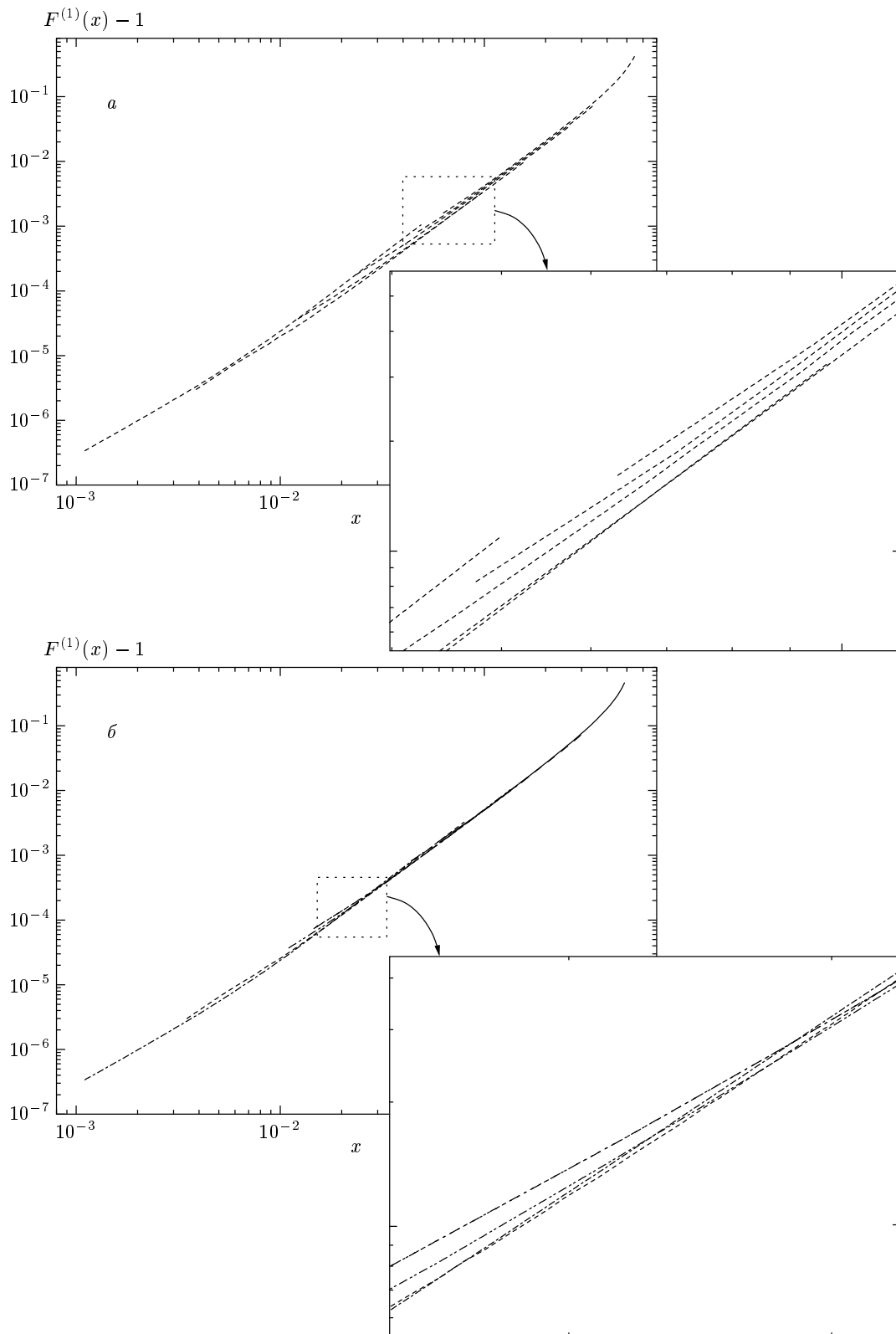
$\lambda_0$	$n_0$	$n_{max}/n_0$	$N$	$\bar{D}$
$4 \cdot 10^{-5}$	745	2.62	3200	1.769
$10^{-5}$	1490	1.95	3600	1.765
$2.5 \cdot 10^{-6}$	2980	1.98	560	1.766
$10^{-6}$	4712	2.68	210	1.754
$10^{-7}$	14901	2.10	64	1.724
$10^{-8}$	47123	2.55	20	1.704
$10^{-9}$	149018	2.69	7	1.723

ны значения фрактальной размерности  $\bar{D}$ , полученные усреднением  $D(n; \lambda_0)$  по интервалу значений  $n \in [1.0 : 2.5]$ . Из таблицы видно, что полученные значения  $\bar{D}$  изменяются от 1.77 при  $\lambda = 10^{-5}$  до 1.70 при  $\lambda = 10^{-8}$ , т. е. различаются уже во втором знаке после запятой.

Поведение  $D(n; \lambda_0)$  при  $\lambda_0 = 10^{-9}$  отличается от поведения функции для остальных значений  $\lambda_0$ . Этот факт можно объяснить следующим образом. Производная функции конформного отображения в выражении (6) сильно неоднородна на размерах порядка  $\sqrt{\lambda_0}$ , поэтому при росте частицы вблизи уже существующей частицы последняя будет существенно искажать размер и форму присоединяемой частицы. Эта проблема и возможности ее преодоления подробно обсуждаются в работе Степанова и Левитова [13]. При большом количестве частиц этот эффект будет достаточно заметным, поскольку при уменьшении  $\lambda_0$  (и увеличении  $n$ ) увеличивается вероятность образования в одном месте большого количества частиц. Эта же особенность ставит под вопрос возможность получения точных результатов без дополнительного контроля за ростом частиц, а также точное соответствие моделей DLA и Хастингса–Левитова (подробное обсуждение см. в работе [13]).

При небольшой толщине слоя налипших частиц и малом по сравнению с начальным радиусом размере частиц  $\sqrt{\lambda_0}$  наша задача близка к задаче роста плоского слоя [12]. Тогда по мере уменьшения размера частиц можно ожидать, что значение фрактальной размерности, полученное по методу Давидовича–Прокаччия, будет стремиться к известному значению размерности структуры при росте плоского слоя, примерно равному 1.66–1.68 (см. работу [12] и ссылки в ней). Если отложить значения  $\bar{D}$  из таблицы в зависимости от  $(-1/\ln \lambda_0)$ , то четыре из них (при  $\lambda_0 = 2.5 \cdot 10^{-6}, 10^{-6}, 10^{-7}$  и  $10^{-8}$ ) ложатся





**Рис. 6.** Зависимость  $F^{(1)}(x; \lambda_0)$  от  $x = \sqrt{\lambda_0 n^{1/D}}$  при  $D = 1.70$  (а) и  $D = 1.75$  (б) для различных значений  $\lambda_0 = 4 \cdot 10^{-5}, 10^{-5}, 2.5 \cdot 10^{-6}, 10^{-6}, 10^{-7}, 10^{-8}, 10^{-9}$ . На вставках, выполненных в более крупном масштабе, видно, что кривые близки, но не сливаются

на прямую и линейная экстраполяция дает значение  $D = 1.6(1)$ . Конечно, эта экстраполяция весьма приближительна, тем не менее она является аргументом в пользу нашего предположения, что с помощью метода Давидовича–Прокаччия можно грубо вычислить фрактальную размерность другой задачи — задачи роста плоского слоя.

Для дальнейшей проверки утверждений Давидовича и Прокаччия, мы построили аналоги полученных в [6] зависимостей функции  $F^{(1)}(x; \lambda) - 1$  от «инвариантной» переменной  $x = \sqrt{\lambda_0} n^{1/D}$ . Совпадение этих кривых при различных значениях  $\lambda_0$  свидетельствовало бы о существовании универсальной функции  $F_*^{(1)}(x)$ .

Эти зависимости приведены на рис. 6а, б для различных  $\lambda_0$  и для двух значений фрактальной размерности  $D = 1.70$  и  $1.75^2$ ). Нами были выбраны именно такие значения фрактальной размерности, поскольку величина  $D = 1.70$ , близкая к общепринятому значению размерности в модели DLA, была выбрана авторами [6] при построении аналогичных рисунков, а для величины  $D = 1.75$  получается наиболее плотное расположение кривых, соответствующих различным значениям  $\lambda_0$ .

Анализируя рисунки, можно отметить следующее.

1. Поскольку при  $D = 1.75$  кривые, соответствующие различным  $\lambda_0$ , располагаются плотнее, чем в случае  $D = 1.70$  (рассматриваемом в работе [6]), более справедливым было бы утверждение о существовании единой функции  $F_*^{(1)}(x)$  при  $D = 1.75$ .

2. При недостаточно крупном масштабе (таком, какой был выбран на рис. 3–5 в [6]) может показаться, что все  $F^{(1)}(x; \lambda)$  сливаются в одну функцию  $F_*^{(1)}(x)$ , как при  $D = 1.75$ , так и при  $D = 1.70$ .

3. Для различных значений  $\lambda_0$  функции  $F^{(1)}(x; \lambda)$  близки, но все же они не сливаются. Кроме того, характер их поведения таков, что они не будут сливаться ни при каком значении  $D$ . (При  $D = 1.75$  существуют как участки графика, на которых кривые сливаются, так и участки, на которых они не сливаются. Если же взять другое значение  $D$ , то на сливающихся при  $D = 1.75$  участках кривые разойдутся.) Следовательно, единой функции  $F_*^{(1)}(x)$ , скорее всего, не существует.

Таким образом, можно сделать следующий вывод: предложенный в [6] подход не имеет, по всей видимости, достаточного обоснования и вряд ли может

служить для получения результатов высокой точности.

## 5. ВЫВОДЫ

Таким образом, проведенное в работе моделирование позволяет сделать следующие выводы.

1. Распределение  $D$  по различным реализациям кластеров близко к гауссову. Величина  $D$  усредняется слабо, что может объяснять медленную сходимость результатов вычисления фрактальной размерности традиционным способом.

2.  $D(n; \lambda_0)$  действительно экспоненциально быстро релаксирует к некоторому значению (релаксация происходит на размерах порядка  $n_0/2$ ), поэтому кластер, рассматриваемый на размерах порядка  $n_0$ , можно считать стационарным.

3. Исследованное нами поведение функции  $D(n; \lambda_0)$  указывает на то, что с помощью метода, предложенного в [6], нельзя получить сколь угодно точных значений фрактальной размерности при  $\lambda_0 \rightarrow 0$ . По-видимому, в этом пределе размерность стремится к размерности задачи роста плоского слоя. Таким образом, это совсем иная задача, которая требует отдельного исследования.

Авторы благодарны Л. С. Левитову и М. Г. Степанову за критические замечания. Работа частично поддержана грантом РФФИ 99-02-18412. Л. Н. Щ. благодарит за поддержку также фонд Кариплю и Centro-Volta–Landau Network (Италия) и программу сотрудничества Эколь Нормаль Супериор (Париж) и Института теоретической физики им. Л. Д. Ландау.

## ЛИТЕРАТУРА

1. T. C. Halsey, B. Duplantier, and K. Honda, *Phys. Rev. Lett.* **78**, 1719 (1997).
2. T. A. Witten and L. M. Sanders, *Phys. Rev. Lett.* **47**, 1400 (1981).
3. T. C. Halsey, *Physics Today* **53**, 36 (2000).
4. M. B. Hastings and L. S. Levitov, *Physica D* **116**, 244 (1998).
5. M. B. Hastings, *Phys. Rev. E* **55**, 135 (1997).
6. B. Davidovitch and I. Procaccia, *Phys. Rev. Lett.* **85**, 3608 (2000).
7. P. Ossadnik, *Physica A* **195**, 319 (1993).

<sup>2)</sup> Эти зависимости аналогичны рис. 3–5 из [6], отличие состоит только в том, что нами использован более крупный масштаб рисунков.

8. L. Nimeyer, L. Pietronero, and H. J. Wiessmann, Phys. Rev. Lett. **52**, 1033 (1984).
9. *Fractals and Disordered Systems*, ed. by A. Bunde and S. Havlin, Springer-Verlag, Berlin, Heidelberg (1996).
10. S. Wiseman and E. Domany, Phys. Rev. Lett. **81**, 22 (1998); Phys. Rev. E **58**, 2938 (1998).
11. E. Somfai, L. M. Sander, and R. C. Ball, Phys. Rev. Lett. **83**, 5523 (1999).
12. B. Kol and A. Aharony, Phys. Rev. E **63**, 046117 (2001).
13. M. G. Stepanov and L. S. Levitov, Phys. Rev. E **63**, 061102 (2001).